

УДК 532.546

## К РЕШЕНИЮ ЗАДАЧИ ФИЛЬТРАЦИИ В ЗАТОПЛЕННОМ МАССИВЕ С ВЕРТИКАЛЬНЫМИ ДРЕНАМИ<sup>1</sup>

© 2023 г. К. Н. Анахаев<sup>a, b</sup>, В. В. Беликов<sup>b</sup>, Х. К. Анахаева<sup>c</sup>, Н. М. Борисова<sup>b, \*</sup>

<sup>a</sup>Институт прикладной математики и автоматизации Кабардино-Балкарского научного центра Российской академии наук, Нальчик, 360000 КБР Россия

<sup>b</sup>Институт водных проблем Российской академии наук, Москва, 119333 Россия

<sup>c</sup>Российский университет транспорта, Москва, 127994 Россия

\*e-mail: borisovanm@mail.ru

Поступила в редакцию 05.03.2022 г.

После доработки 10.12.2022 г.

Принята к публикации 14.12.2022 г.

Известные решения задачи фильтрации в затопленном массиве с вертикальными дренами (дренажными траншеями) с водой представлены чрезвычайно сложными математическими зависимостями в комплексных переменных, что затрудняет их использование при решении прикладных задач. Получено новое приближенно-гидромеханическое решение задачи с использованием годографа скорости и представлением расчетных зависимостей в элементарных функциях, совпадающее для граничных точек с точными данными и практически полностью ( $\ll 1\%$ ) согласующееся с результатами точных расчетов В.В. Ведерникова для частных случаев. Впервые аналитически построена картина поля полных скоростей фильтрации в виде семейства изотак для заданного затопленного массива с дренами, показывающая неоднородный характер распределения скоростей в нем при наличии воды в дрене. Представлены также эпюры скоростей фильтрации по граничным линиям (в том числе в сравнении с случаем отсутствия воды в дрене), а также эпюр функций тока и напоров.

**Ключевые слова:** затопленный массив, вертикальные дренаи, гидромеханическое решение, годограф скорости, последовательные конформные отображения, комплексная переменная, эллиптические функции и интегралы, семейство изотак.

DOI: 10.31857/S0321059623030021, EDN: DESXPZ

### ВВЕДЕНИЕ

В практике водохозяйственного (гидротехнического, мелиоративного, природоохранного) строительства во многих случаях возникает необходимость создания дренирующей системы для затопленных массивов, в том числе в виде вертикальных дренажных траншей (щелей), прорезающих дренируемый массив до водоупора. Такие случаи проявляются (возникают):

при подпорах русел рек и создании водохранилищ с формированием обходного фильтрационного потока, охватывающего значительные площади береговых территорий, в особенности для равнинных рек; указанное приводит к повышению депрессионной поверхности прилегающих территорий со стороны как верхнего бьефа, так и нижнего (поймы реки), что приводит к их затоп-

лению, заболачиванию, а также засолению почв — в результате подъема (в том числе капиллярного) уровня минерализованных грунтовых вод;

при строительстве оросительных систем в степных (засоленных) землях, требующих их расчлениения путем предварительного промыва затоплением;

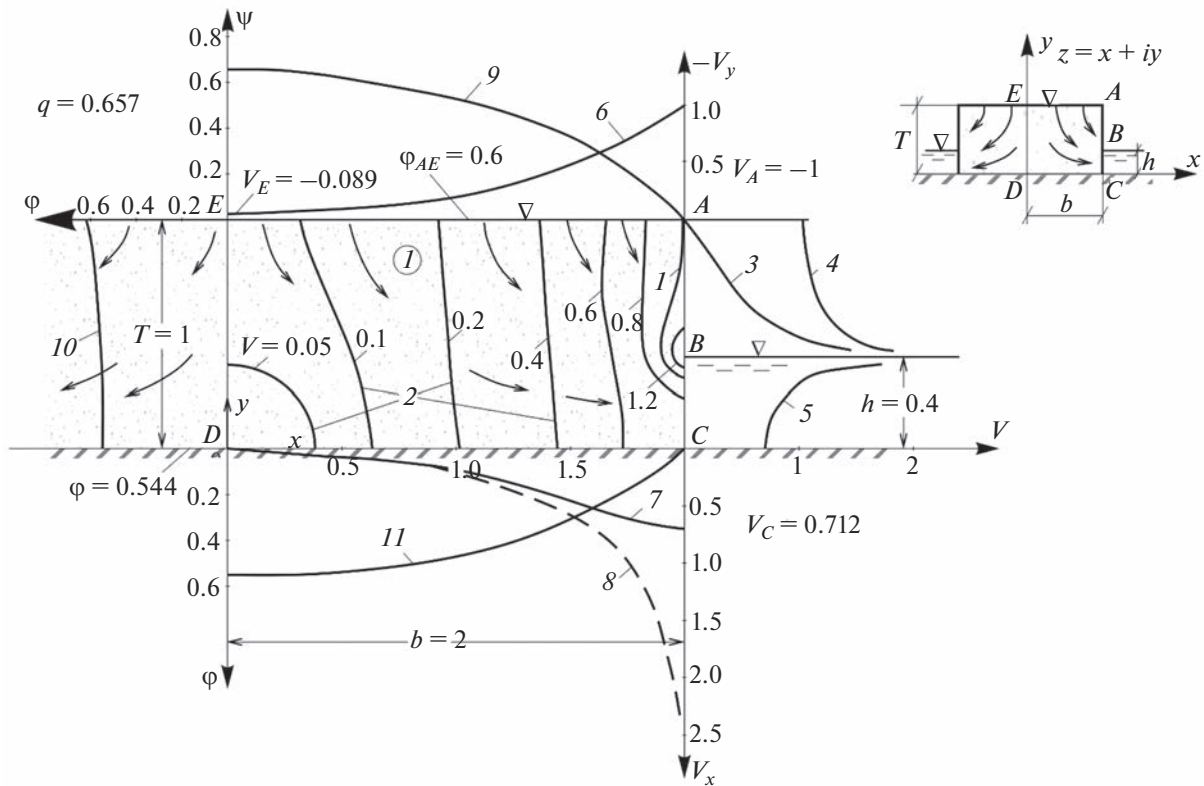
при появлении “вторичного засоления” орошаемых земель из-за чрезмерного завышения норм полива и повышения уровня грунтовых вод;

при проведении осушительных мероприятий болотистых систем;

при создании оросительных рисовых систем с затопленной поверхностью и др.

При рассмотрении указанных расчетных схем требуется определение различных параметров фильтрационного потока (максимальных значений расхода, оптимального междренного расстояния, продвижения фронта рассоления, распределения действующих напоров и скоростей филь-

<sup>1</sup> Работа выполнена в рамках тем Государственного задания ИПМА КБНЦ РАН (122041800015-8) и ИВП РАН (FMWZ-2022-0001).



**Рис. 1.** Схема затопленного массива с вертикальными дренажными траншеями (правая половина): 1 – область фильтрации  $ABCDE$ ; 2 – линии равных полных скоростей фильтрации  $V$  (изотак); 3 и 4 – значения скоростей  $V_x$  и  $V$  на  $AB$ ; 5 и 6 – значения скоростей  $V = V_x$  и  $V = V_y$  соответственно на  $BC$  и  $AE$ ; 7 и 8 – значения скоростей  $V = V_x$  на участке  $DC$  соответственно при наличии ( $h = 0.4$ ) и отсутствии ( $h = 0$ ) воды в дренае; 9 – значения функции тока  $\psi_{AE} = \psi(x)$  на  $AE$ ; 10 и 11 – напорные функции  $\phi_{ED} = \phi(y)$  и  $\phi_{DC} = \phi(x)$  соответственно на  $ED$  и  $DC$ .

трации в заданных точках и др.) в зависимости от заданных граничных условий.

На рис. 1 представлена классическая задача фильтрации без свободной (депрессионной) поверхности в затопленном (с весьма малым, исчезающим уровнем воды) массиве конечной мощности  $T$  над водоупором, ограниченном рядом вертикальных дренажных траншей, в котором  $z = x + iy$  – комплексная область фильтрации с координатами  $x$  и  $y$ ,  $2b$  – заданное конечное расстояние между дренами,  $h$  – глубина воды в дренах над водоупором.

Решение указанной задачи основано на теории функции комплексного переменного с использованием метода последовательных конформных отображений, что является одним из мощных методов решения задач фильтрации (напорной, безнапорной, свободной), получивший широкое распространение с 1920-х гг. в отечественной и зарубежной литературе. Основы метода заложены в классических работах Н.Е. Жуковского, Н.Н. Павловского, Б.Б. Девисона, Г. Гамеля и Е. Гюнтера, М. Маскета, В.В. Ведерникова, П.Я. Полубариновой-Кочиной и др. И в настоя-

щее время указанный метод решения потенциальных задач с использованием последовательных конформных отображений продолжает развиваться для задач не только фильтрации, но и других (гидродинамических, гидравлических, импульсных, струйных, тепловых, электрических) процессов.

### ПОСТАНОВКА ЗАДАЧИ

В представленной задаче в связи с симметричностью области фильтрации (рис. 1) рассматривается только правая ее половина  $ABCDE$  со следующими граничными условиями:

участок  $AE$  – зона питания массива с полным действующим напором (потенциалом)  $\phi_{AE} = T - h$ , в котором горизонтальная скорость фильтрации  $V_x = 0$ , а вертикальная скорость снижается от  $V_y = -1$  в точке  $A$  до  $V_y = V_E$  в точке  $E$  – середине поверхности осушаемого массива;

участок  $AB$  (вертикальная грань дрена) – зона высачивания фильтрационного потока, в которой вертикальная скорость фильтрации  $V_y$  имеет

постоянное значение  $V_y = -1$  (при коэффициенте фильтрации  $k = 1$  усл. ед.), а горизонтальная скорость  $V_x$  возрастает от  $V_x = 0$  в точке  $A$  до  $V_x \rightarrow \infty$  в “фокусной” точке  $B$  – на урезе воды дрены. При этом величина полной скорости фильтрации  $V$  и ее направление  $\beta_0$  (соответственно, изменяющееся от вертикального до горизонтального) находятся по формулам:

$$V = \sqrt{V_x^2 + V_y^2}, \quad \beta_0 = \operatorname{arctg} \frac{V_x}{V_y}. \quad (1)$$

Величина же напорной функции линейно снижается от полного напора  $\phi = \phi_{AE}$  в точке  $A$  до нулевого значения  $\phi = 0$  в точке  $B$ ;

участок  $BC$  – зона подпора (выхода фильтрационного потока по нормали в дрена) с нулевым значением напора  $\phi = 0$ , где вертикальная скорость фильтрации  $V_y = 0$ , а горизонтальная скорость возрастает от  $V_x = V_C$  в точке  $C$  (в месте сопряжения дрены с водоупором) до  $V_x \rightarrow \infty$  в точке  $B$  на урезе воды в дрене;

участок  $AE$  – зона питания массива с полным действующим напором (потенциалом)  $\phi_{AE} = T - h$ , где  $V_x = 0$ , а вертикальная скорость снижается от  $V_y = -1$  в точке  $A$  до  $V_y = V_E$  в точке  $E$  – середине поверхности осушаемого массива;

участок  $ED$  – осевая линия массива, где  $V_x = 0$ , вертикальная скорость снижается от  $V_y = V_E$  до

нуля, а напорная функция – от полного напора  $\phi_{AE}$  до  $\phi = \phi_D$ ;

участок  $DC$  – линия подошвы массива, где  $V_y = 0$ , при этом горизонтальная скорость возрастает от нуля до  $V_x = V_C$ , а напорная функция снижается от  $\phi = \phi_D$  до нуля.

Указанная задача для случая отсутствия воды в дрене ( $h = 0$ ) была решена разными методами Дж. Донатом (J. Donat) и В.В. Ведерниковым соответственно разложением в ряды Фурье напорной функции в уравнении Лапласа [15] и представлением области течения в виде годографа скорости с использованием эллиптических функций Якоби [5].

В наиболее полном виде с учетом наличия воды в дрене ( $h \geq 0$ ) гидромеханическое решение данной задачи с определением сопряженной комплексной скорости  $\bar{V} = V_x - iV_y$  получено Ф.Б. Нельсон-Скорняковым [10]:

$$\bar{V} = V_x - iV_y = k \frac{2}{\pi} \operatorname{arch} \frac{\left( \frac{1+\lambda}{\beta} \right) \left[ \operatorname{cn} \left( \frac{2K}{b} z \right) + \operatorname{dn} \left( \frac{2K}{b} z \right) \right]}{(1+\lambda) \left[ \frac{1}{\beta} \operatorname{cn} \left( \frac{2K}{b} z \right) + \operatorname{dn} \left( \frac{2K}{b} z \right) \right]}, \quad (2)$$

оно может быть представлена в более развернутом виде в зависимости от значений координат  $x, y$  (при  $k = 1$ ) [6, 8–10, 12]:

$$\bar{V} = \frac{2}{\pi} \operatorname{arch} \frac{\left( \frac{1+\lambda}{\beta} \right) \left\{ \frac{1}{\operatorname{cn} \left( \frac{2K}{b} y, \lambda' \right)} \left[ \operatorname{cn} \left( \frac{2K}{b} x, \lambda \right) + \operatorname{dn} \left( \frac{2K}{b} x, \lambda \right) \operatorname{dn} \left( \frac{2K}{b} y, \lambda' \right) \right] - i \operatorname{sn} \left( \frac{2K}{b} x, \lambda \right) \operatorname{tn} \left( \frac{2K}{b} y, \lambda' \right) \frac{1}{\operatorname{cn} \left( \frac{2K}{b} y, \lambda' \right)} \left[ \operatorname{dn} \left( \frac{2K}{b} x, \lambda \right) \operatorname{dn} \left( \frac{2K}{b} y, \lambda' \right) + \lambda^2 \operatorname{cn} \left( \frac{2K}{b} x, \lambda \right) \right] \right\}}{(1+\lambda) \left\{ \frac{1}{\operatorname{cn} \left( \frac{2K}{b} y, \lambda' \right)} \left[ \frac{1}{\beta} \operatorname{cn} \left( \frac{2K}{b} x, \lambda \right) + \operatorname{dn} \left( \frac{2K}{b} x, \lambda \right) \operatorname{dn} \left( \frac{2K}{b} y, \lambda' \right) \right] - i \operatorname{sn} \left( \frac{2K}{b} x, \lambda \right) \operatorname{tn} \left( \frac{2K}{b} y, \lambda' \right) \frac{1}{\operatorname{cn} \left( \frac{2K}{b} y, \lambda' \right)} \left[ \frac{1}{\beta} \operatorname{dn} \left( \frac{2K}{b} x, \lambda \right) \operatorname{dn} \left( \frac{2K}{b} y, \lambda' \right) + \lambda^2 \operatorname{cn} \left( \frac{2K}{b} x, \lambda \right) \right] \right\}}. \quad (3)$$

В формулу (3) входят обозначения:  $\operatorname{sn}, \operatorname{cn}$  и  $\operatorname{dn}$  – эллиптические синус-, косинус- и дельта-функции Якоби [4, 6, 9, 10, 12];  $\operatorname{tn}$  – эллиптическая тангенс-функция [6];  $K$  – полный эллиптический интеграл 1-го рода;  $\lambda$  – модуль эллиптических функций и интегралов и параметр  $\beta$  определяются подбором с использованием табличных значений из выражений [8, 10]:

$$\frac{K}{K'} = \frac{b}{2T}, \quad \beta = \frac{1}{\operatorname{dn} \left[ \frac{2(T-h)}{b} K, \lambda' \right]}, \quad (4)$$

$K'$  – полный эллиптический интеграл 1-го рода при дополнительном модуле, равном  $\lambda' = (1 - \lambda^2)^{0.5}$ .

Как видно из изложенного, использование зависимости (3) для решения прикладных задач

связано с чрезвычайно трудоемкими и сложными математическими вычислениями эллиптических функций, с необходимостью определения при этом отдельных параметров методом подбора из значений эллиптических дельта-функции и интегралов, предварительно полученных путем нелинейного перекрестного интерполирования по двум переменным табличных данных, — в особенности, для специалистов прикладного, инженерного профиля. Этот процесс еще более усложняется с учетом необходимости предшествующего извлечения корня из подкоренного дробного выражения — отношения комплексных эллиптических выражений (с разделением на действительную и мнимую части) — и определения ее значения в обратном гиперболическом косинусе. На аналогичные математические трудности, возникающие при гидромеханическом рассмотрении задачи напорной фильтрации под плоским флювбетом и водоупором, указывал также Н.Н. Павловский [11]. Использование для этого результатов численных решений, дающих только дискретные значения специальных функций и интегралов (в “цифрах”) для каких-то отдельных точек и фрагментов задачи, не позволяет получить общее аналитическое решение в элементарных функциях для всей области задачи и ограничены в возможностях выявления причинно-следственных связей (в виде аналитических формул) исходных факторов и в оценке их влияния на итоговые результаты. В связи с этим ниже изложено новое прямое приближенно-гидромеханическое решение указанной задачи с представлением итоговых результатов в элементарных функциях.

МЕТОД РЕШЕНИЯ

Для получения аналитической взаимосвязи между комплексными областями физического течения  $z = x + iy$  (рис. 2а) и годографа скорости  $V = V_x + iV_y$ , имеющей вид правой горизонтальной полуполосы (рис. 2ж), методом последовательных конформных отображений переводим их на единую связующую комплексную полуплоскость  $\gamma = \gamma_1 + i\gamma_2$  (рис. 2е). Область годографа  $V = V_x + iV_y$  отображаем на полуплоскость  $\gamma = \gamma_1 + i\gamma_2$  через промежуточную комплексную область  $\varepsilon = \varepsilon_1 + i\varepsilon_2$  (рис. 2з) функциями [5, 7, 10]:

$$\varepsilon = \pi(V + i), \quad \gamma = \text{ch}^2\left(\frac{\varepsilon}{2}\right). \tag{5}$$

Как известно, непосредственное точное отображение на верхнюю полуплоскость области течения (прямоугольника) по формуле Шварца–Кристоффеля может быть осуществлено только эллиптическим синусом Якоби и дальнейшие преобразования при решении задачи приводят к сложнейшим аналитическим зависимостям (2), (3) с “неберущимися” функциями и интегралами,

практически непригодными для аналитических расчетов прикладных инженерных задач. В связи с изложенным конформное отображение области течения  $z = x + iy$  (осушаемого массива) — прямоугольника с основанием  $b$  и высотой  $T$  — на связующую полуплоскость  $\gamma = \gamma_1 + i\gamma_2$  проводим для двух случаев — “удлиненного” (при  $b/T \leq 1$ ) и “уширенного” (при  $b/T > 1$ ) массивов, результаты отображения которых практически полностью ( $\ll 1\%$ ) совпадают с аналогичными данными известного конформного отображения эллиптическим синусом Якоби [1–3, 13, 14].

Для “удлиненного” массива при отображении области  $z = x + iy$  на  $\gamma = \gamma_1 + i\gamma_2$  используем промежуточные комплексные области:  $t = t_1 + it_2$ ,  $\zeta = \xi + i\eta$ ,  $\theta = \theta_1 + i\theta_2$ ,  $S = S_1 + iS_2$  (рис. 2б–2д) — с отображающими функциями:

$$\begin{aligned} t = z - \frac{b}{2}, \quad \zeta &= \frac{2}{\lambda R} \frac{\sin\left(\frac{\pi t}{b}\right)}{1 + \sin^2\left(\frac{\pi t}{b}\right) R^{-2}}, \\ \theta = \zeta - \xi_B, \quad S &= \frac{1}{\theta}, \quad \gamma = \frac{S - S_D}{S_A - S_D}, \\ R &= \text{ch}\left(\frac{\pi T}{b}\right), \quad \lambda = \frac{2R}{1 + R^2}, \\ S_A &= \frac{\lambda}{1 - \lambda \xi_B}, \quad S_D = \frac{-1}{1 + \xi_B}, \\ \xi_B &= \frac{2}{\lambda R} \frac{\sin\left(\frac{\pi h}{b}\right)}{1 + \sin^2\left(\frac{\pi h}{b}\right) R^{-2}}. \end{aligned} \tag{6}$$

Для “уширенного” массива при отображении области  $t = t_1 + it_2$  на  $\gamma = \gamma_1 + i\gamma_2$  используем промежуточные комплексные области:  $\sigma = \sigma_1 + i\sigma_2$ ,  $J = J_1 + iJ_2$ ,  $\tau = \tau_1 + i\tau_2$ ,  $v = v_1 + iv_2$  (рис. 3а–3г) — с отображающими функциями:

$$\begin{aligned} \sigma = \frac{\pi}{2} + i\frac{\pi}{T}\left(t + \frac{b}{2}\right), \quad J &= \frac{2}{mr} \frac{\sin\left(\frac{\pi \sigma}{b}\right)}{1 + \sin^2\left(\frac{\pi \sigma}{b}\right) r^{-2}}, \\ \tau = J - J_B, \quad v &= \frac{1}{\tau}, \quad \gamma = \frac{v - v_D}{v_A - v_D}, \\ r &= \text{ch}\left(\frac{\pi b}{T}\right), \quad m = \frac{2r}{1 + r^2}, \\ v_A &= \frac{-m}{1 + mJ_B}, \quad v_D = \frac{1}{1 - J_B}, \end{aligned} \tag{7}$$

$J_B$  — значение точки  $B$  в области  $J = J_1 + iJ_2$  (вычисляется по формуле (10)).

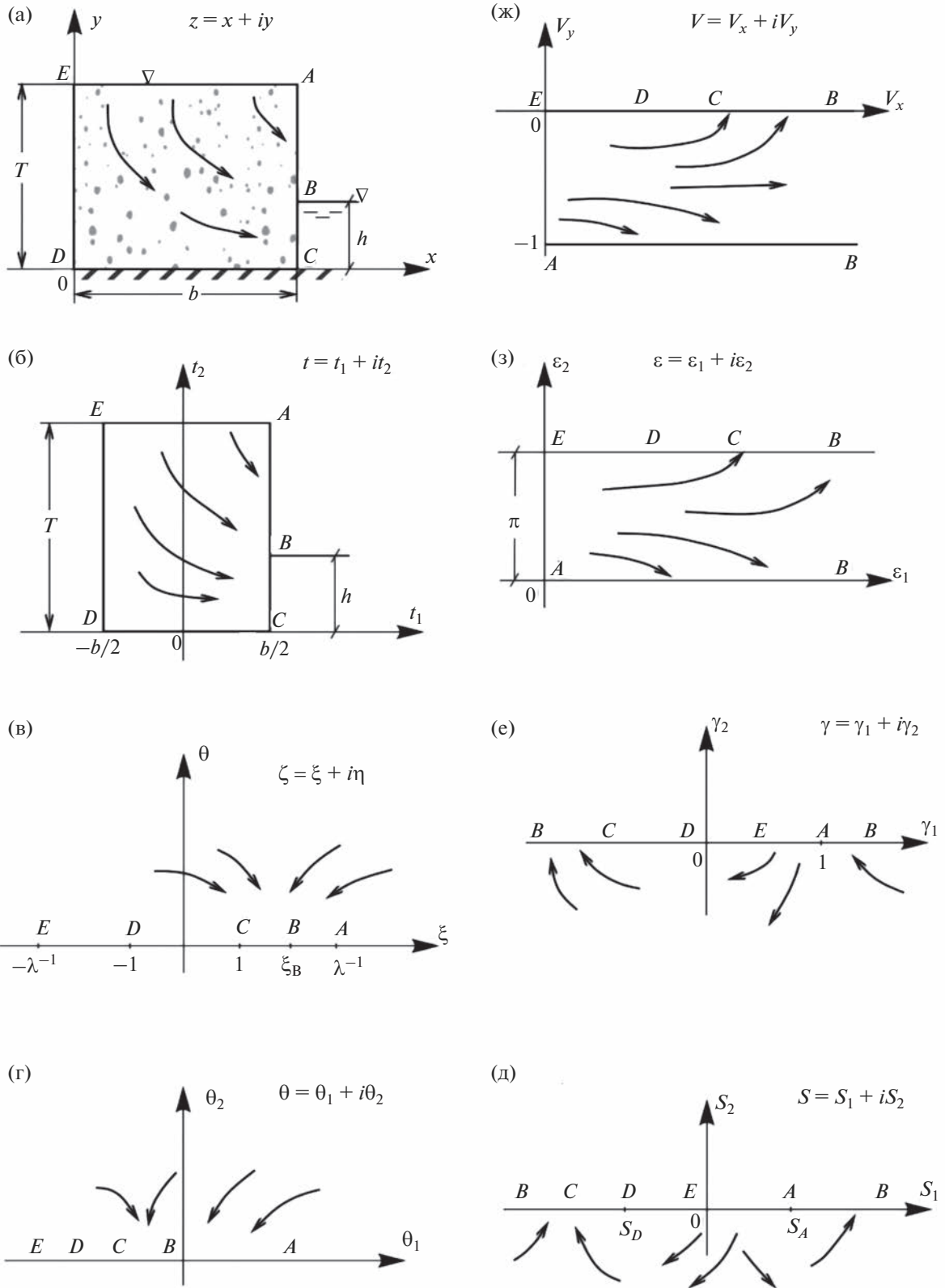


Рис. 2. Схема последовательных конформных отображений областей течения  $z = x + iy$  и годографа скорости  $V = V_x + iV_y$  на связующую полуплоскость  $\gamma = \gamma_1 + i\gamma_2$  для “удлиненного” затопленного массива.

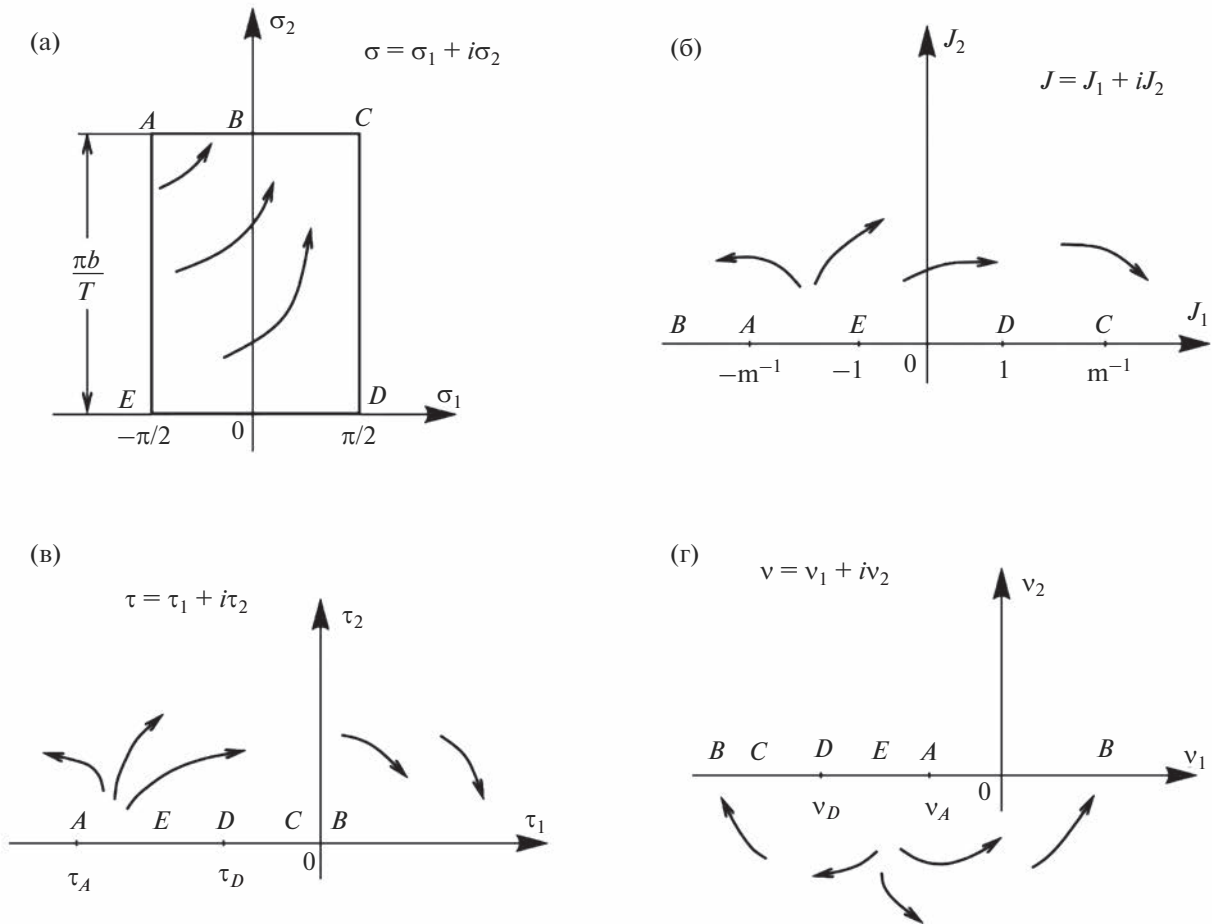


Рис. 3. Схема конформных отображений комплексной области  $\sigma = \sigma_1 + i\sigma_2$  на связующую полуплоскость  $\gamma = \gamma_1 + i\gamma_2$  для “уширенного” затопленного массива.

На основе результатов изложенных конформных отображений и последующих преобразований, разделяя действительную и мнимую части итоговых аналитических выражений, окончательно получим значения комплексной скорости фильтрации  $V_x$  и  $V_y$  для области фильтрации осушаемого массива при заданных значениях  $x$  и  $y$ .

Для случая “удлиненного” массива ( $b/T \leq 1$ ) значения комплексной скорости  $V_x$  и  $V_y$  определяются по зависимостям:

$$\begin{aligned}
 V_x &= k \frac{1}{\pi} \operatorname{arch} \frac{M}{2}, \quad V_y = k \frac{1}{\pi} \arccos \frac{2\gamma_1}{M}, \\
 M &= \sqrt{(1 + N_1)^2 + N_2^2} + \sqrt{(1 - N_1)^2 + N_2^2}, \quad (8) \\
 N_1 &= \sqrt{\frac{\sqrt{\gamma_1^2 + \gamma_2^2} + \gamma_1}{2}}, \quad N_2 = \sqrt{\frac{\sqrt{\gamma_1^2 + \gamma_2^2} - \gamma_1}{2}},
 \end{aligned}$$

(при  $N_2 = 0$  значение  $M = 2$  для  $N_1 \leq 1$  и  $M = 2N_1$  для  $N_1 > 1$ ), в которых

$$\begin{aligned}
 \gamma_1 &= \frac{S_1 - S_D}{S_A - S_D}, \quad \gamma_2 = \frac{S_2}{S_A - S_D}, \\
 S_1 &= \frac{\theta_1}{\theta_1^2 + \theta_2^2}, \quad S_2 = \frac{-\theta_2}{\theta_1^2 + \theta_2^2}, \quad \theta_1 = \xi - \xi_B, \quad \theta_2 = \eta, \\
 \xi &= \frac{2}{\lambda R} \frac{A_1 A_2 + B_1 B_2}{A_2^2 + B_2^2}, \quad \eta = \frac{2}{\lambda R} \frac{A_2 B_1 - A_1 B_2}{A_2^2 + B_2^2}, \\
 A_2 &= 1 + \frac{A_1^2 - B_1^2}{R^2}, \quad B_2 = \frac{2A_1 B_1}{R^2}, \quad (9) \\
 A_1 &= \sin\left(\frac{\pi t_1}{b}\right) \operatorname{ch}\left(\frac{\pi t_2}{b}\right), \quad B_1 = \cos\left(\frac{\pi t_1}{b}\right) \operatorname{sh}\left(\frac{\pi t_2}{b}\right), \\
 t_1 &= \pi \left(\frac{x}{b} - \frac{1}{2}\right), \quad t_2 = \frac{\pi}{b} y, \\
 0 &\leq x \leq b, \quad 0 \leq y \leq T.
 \end{aligned}$$

Для случая “уширенного” массива ( $b/T > 1$ ) величины скоростей  $V_x$  и  $V_y$  также находятся по зависимостям (8) при подстановке только в них значений  $\gamma_1$  и  $\gamma_2$ , равных:

$$\gamma_1 = \frac{v_1 - v_D}{v_A - v_D}, \quad \gamma_2 = \frac{v_2}{v_A - v_D},$$

$$v_1 = \frac{\tau_1}{\tau_1^2 + \tau_2^2}, \quad v_2 = \frac{-\tau_2}{\tau_1^2 + \tau_2^2},$$

$$\tau_1 = J_1 - J_B, \quad J_2 = \tau_2, \quad J_B = \frac{2 a_1 a_2 + b_1 b_2}{mr a_2^2 + b_2^2},$$

$$a_2 = 1 + \frac{a_1^2 - b_1^2}{r^2}, \quad b_2 = \frac{2a_1 b_1}{r^2},$$

$$a_1 = \cos\left(\frac{\pi h}{T}\right) \operatorname{ch}\left(\frac{\pi b}{T}\right), \quad b_1 = \sin\left(\frac{\pi h}{T}\right) \operatorname{sh}\left(\frac{\pi b}{T}\right), \quad (10)$$

$$J_1 = \frac{2 c_1 c_2 + d_1 d_2}{mr c_2^2 + d_2^2}, \quad J_2 = \frac{2 c_2 d_1 - c_1 d_2}{mr c_2^2 + d_2^2},$$

$$c_2 = 1 + \frac{c_1^2 - d_1^2}{r^2}, \quad d_2 = \frac{2c_1 d_1}{r^2},$$

$$c_1 = \sin \sigma_1 \operatorname{ch} \sigma_2, \quad d_1 = \cos \sigma_1 \operatorname{sh} \sigma_2,$$

$$\sigma_1 = \pi \left( \frac{1}{2} - \frac{t_2}{T} \right), \quad \sigma_2 = \frac{\pi}{T} \left( t_1 + \frac{b}{2} \right),$$

$$t_1 = \pi \left( \frac{x}{b} - \frac{1}{2} \right), \quad t_2 = \frac{\pi}{b} y, \quad 0 \leq x \leq b, \quad 0 \leq y \leq T.$$

Полученные аналитические (элементарные) формулы (8)–(10) позволяют непосредственно определять значения комплексной скорости фильтрации в любой точке области фильтрации прямым подсчетом в зависимости от граничных условий исходного затопленного массива (полуширины основания  $b$ , высоты  $T$ , глубины воды в канаве  $h$ ) и заданных значений координат  $x$  и  $y$ , что дает возможность и нахождения всех других необходимых параметров фильтрации.

При этом величина полной скорости фильтрации  $V$  находится по формуле (1).

### РЕЗУЛЬТАТЫ ДЛЯ ЧАСТНЫХ СЛУЧАЕВ

Для точек контура области фильтрации (рис. 1):  $A(b; T)$ ,  $B(b; h)$ ,  $D(0; 0)$  – значения скоростей фильтрации по предлагаемому решению (при наличии и отсутствии уровня воды в дрене  $h$ ) – полностью совпадают с точными, в частности для случая  $h > 0$  [10]:  $A (V_x = 0, V_y = -1)$ ;  $B (V_x = \infty, V_y = -1)$ ;  $D (V_x = 0, V_y = 0)$ .

При наличии воды в дрене ( $h > 0$ ) значения скоростей фильтрации в нижней (наиболее суффозионно-опасной) точке выхода фильтрационного потока в дрину  $V_C$  (в точке  $C$ ) и в середине поверхности осушаемого массива  $V_E$  (в точке  $E$ ) определяются из зависимостей (8)–(10) соответственно при  $x = b; y = 0$  и  $x = 0; y = T$  в виде:

для “удлиненного” массива (при  $b/T \leq 1$ )

$$V_C = V_x = k \frac{2}{\pi} \operatorname{arch} \sqrt{\frac{(1-\lambda)(\xi_B+1)}{(1+\lambda)(\xi_B-1)}}, \quad (11)$$

$$V_E = V_y = k \frac{2}{\pi} \arccos \sqrt{\frac{(1-\lambda)(1-\lambda\xi_B)}{(1+\lambda)(1+\lambda\xi_B)}}, \quad (12)$$

для “уширенного” массива (при  $b/T > 1$ )

$$V_C = V_x = k \frac{2}{\pi} \operatorname{arch} \sqrt{\frac{2m(1-J_B)}{(1+m)(1-mJ_B)}}, \quad (13)$$

$$V_E = V_y = k \frac{2}{\pi} \arccos \sqrt{\frac{2(1+mJ_B)}{(1+m)(1+J_B)}}, \quad (14)$$

в которых величины  $\lambda$ ,  $\xi_B$ ,  $m$ ,  $J_B$  приведены в (6), (7) и (10).

Для случая отсутствия воды в дрене ( $h = 0$ ) формулы для определения скорости фильтрации  $V_E = V_y$  еще более упрощаются:

$$V_E = k \frac{2}{\pi} \arccos \left( \frac{1-\lambda}{1+\lambda} \right) - 1 =$$

$$= k \frac{2}{\pi} \arccos \left( \frac{R-1}{R+1} \right) - 1 \quad \left( \text{при } \frac{b}{T} \leq 1 \right),$$

$$V_E = k \frac{2}{\pi} \arccos \left( \frac{2\sqrt{m}}{1+m} \right) - 1 \quad \left( \text{при } \frac{b}{T} > 1 \right). \quad (16)$$

### ВЕРИФИКАЦИЯ МЕТОДА

Сравнение (для частных случаев) точных значений скорости фильтрации  $V_E = V_y$ , по решению В.В. Ведерников [5], в срединной точке поверхности осушаемого массива  $E(0; T)$  для разных соотношений  $b/T$  (0.5, 1, 2, 3, 5), равных 0.891, 0.500, 0.110, 0.023, 0.00099, с данными подсчетов по предлагаемому формулам (15), (16) – 0.8902, 0.5004, 0.1098, 0.0229, 0.00099, – показало практически полное совпадение результатов ( $\ll 1\%$ ).

На рис. 1 приведено впервые аналитически построенное поле полных скоростей фильтрации  $V$  в виде семейства изотоп – линий равных скоростей фильтрации в затопленном массиве с вертикальными дренами (при  $b = 2; T = 1; h = 0.4$ ), из которого видно, насколько неоднородный характер имеет распределение скоростей и насколько значительно влияет на это наличие воды в дрине. Представлены также эпюры скоростей фильтрации по граничным линиям:  $AB (V_x, V_y$  – кривые 3, 4);  $BC (V = V_x$  – кривая 5);  $AE (V = V_y$  – кривая 6);  $DC (V = V_x$  – кривая 7), причем для участка  $DC$  представлена также для сравнения эпюра скоростей для случая отсутствия воды в канаве:  $h = 0$  – кривая 8.

В рамках примера расчета рассматриваемого осушаемого массива для линии  $AE$  с максимальным значением напорной функции  $\phi_{AE} = T - h = 0.6$  на основе дифференциальной зависимости  $V_y = d\psi/dx$  получено интегральное выражение для функции тока (расходов)  $\psi_{AE} = \psi(x)$  (кривая 9) в виде:

$$\psi_{AE} = -0.03028(b-x)^4 + 0.22857(b-x)^3 - 0.6717(b-x)^2 + (b-x),$$

по которому определена максимальная величина расхода фильтрации через половину (правую) осушаемого массива, равная  $q = 0.6573$ .

Аналогичным образом с использованием дифференциальных зависимостей  $V_y = d\varphi/dy$  и  $V_x = d\varphi/dx$  построены также эпюры напорных функций  $\varphi_{ED} = \varphi(y)$  и  $\varphi_{DC} = \varphi(x)$  соответственно по линиям  $ED$  и  $DC$  (кривые 10, 11).

### ЗАКЛЮЧЕНИЕ

Известные аналитические решения задачи фильтрации для затопленного массива с вертикальными дренами (дренажными траншеями) с водой представлены чрезвычайно сложными математическими зависимостями в комплексных переменных, что затрудняет их использование при решении прикладных задач. Получено новое приближенно-гидромеханическое решение задачи с использованием годографа скорости и представлением расчетных зависимостей в элементарных функциях, совпадающее для граничных точек с точными данными и практически полностью ( $\ll 1\%$ ) согласующееся с результатами точных подсчетов В.В. Ведерникова для частных случаев. Впервые аналитически построено поле полных скоростей фильтрации в виде семейства изотак — линий равных скоростей фильтрации — для заданного затопленного массива с вертикальными дренажными траншеями, показывающее неоднородный характер распределения скоростей в нем с учетом наличия воды в дрене. Представлены также эпюры скоростей фильтрации по граничным линиям (в том числе в сравнении со случаем отсутствия воды в дрене), а также эпюры функции тока и напорной функции.

### СПИСОК ЛИТЕРАТУРЫ

1. Анахаев К.Н. Об определении эллиптических функции Якоби // Вестн. РУДН. Сер. Математика, информатика, физика. 2009. № 2. С. 90–95.
2. Анахаев К.Н. О расчете потенциальных потоков // ДАН. 2005. Т. 401. № 3. С. 337–341.
3. Анахаев К.Н. Строгое решение задачи свободной фильтрации из водотоков полуобратным методом // Прикладна гідромеханіка. Киев. 2008. Т. 10(82). № 1. С. 80–85.
4. Бронштейн И.Н., Семендяев К.А. Справочник по математике. М.: Наука, 1980. 975 с.
5. Ведерников В.В. Теория фильтрации и ее применение в области ирригации и дренажа. М.; Л.: Гостройиздат, 1939. 248 с.
6. Двайт Г.Б. Таблицы интегралов и другие математические формулы. М.: Наука, 1977. 224 с.
7. Лаврик В.И., Савенков В.Н. Справочник по конформным отображениям. Киев: Наук. думка, 1970. 252 с.
8. Милн-Томсон Л. Эллиптические интегралы // Справочник по специальным функциям / Под ред. М. Абрамовица, И. Стиган. М.: Наука, 1979. С. 401–441.
9. Милн-Томсон Л. Эллиптические функции Якоби тэта-функции // Справочник по специальным функциям / Под ред. М. Абрамовица, И. Стиган. М.: Наука, 1979. С. 380–440.
10. Нельсон-Скорняков Ф.Б. Фильтрация в однородной среде. М.: Советская наука, 1949. 568 с.
11. Павловский Н.Н. Собрание сочинений. Т. 2. Движение грунтовых вод. М.; Л.: Изд-во АН СССР, 1956. 771 с.
12. Фильчаков П.Ф. Справочник по высшей математике. Киев.: Наук. думка, 1973. 743 с.
13. Anakhaev K.N. A Contribution to Calculation of the Mathematical Pendulum // Doklady Physics. 2014. V. 59. № 11. P. 528–533.
14. Anakhaev K.N. Calculation of free seepage from water-courses with curvilinear profiles // Water Resour. 2007. V. 34. № 3. P. 295–300.
15. Donat J. Die Wirkung der Dranungen // Wasserkraft und Wasserwirtschaft. 1936. H. 31. S. 73–77. P. 90–94.